

зрачна, а после второй полностью непрозрачна), позволяет сделать вывод, что вторая вспышка нечувствительна к присадке. Если принять во внимание, что во второй вспышке могут сгорать только пары топлива (в отличие от первой, когда в исследуемой зоне могут присутствовать и капли топлива), то из указанного факта следует, что присадка ИХП-706 способна уменьшить выход сажи только при диффузионном сгорании капель топлива и неэффективна при сгорании испарившегося топлива, что соответствует отмеченному выше отсутствию бария в газовой фазе коптящих пламен. По-видимому, присадка сгорает вместе с каплями, в которых она содержится. Наличие капель и является одной из причин значительных выбросов сажи в дизелях.

Ослабление эффективности присадки при отсутствии самовоспламенения (см. рис. 2, в, г) и полная ее неэффективность при использовании обедненной кислородом газовой смеси (см. рис. 2, з) могут быть связаны с тем, что в этих случаях в среде развивается незначительная температура, ее воздействие на капли топлива недостаточно для появления сажевых частиц, окисление которых может быть ускорено с помощью присадки.

Проведенное исследование позволяет сделать следующий практический важный вывод: барийорганические присадки ускоряют окисление и выгорание сажи, образующейся при диффузионном горении капель топлива, и не влияют на окисление сажи при сгорании предварительно испарившегося топлива. Поэтому следует ожидать максимальной эффективности при их применении в форсированных дизелях, работающих на топливах с повышенным содержанием высококипящих фракций, на режимах с небольшим углом опережения впрыска, когда к моменту воспламенения испаряется лишь незначительная доля топлива. С помощью присадок может быть эффективно уменьшено дымление дизелей, отличающихся недостаточной легкостью распыла топлива.

ЛИТЕРАТУРА

1. В. З. Махов. Труды МАДИ, № 92. М., 1975.
2. C. D. Turley e. a. Air Poll. Contr. Assoc., 1973, 23, 9, 783.
3. А. Гейдон. Спектроскопия пламен. М.: ИЛ, 1959, 382.
4. В. S. Haynes, N. G. Wagner. Progr. in Energy and Comb. Sc., 1981, 7, 4, 229.

*Поступила в редакцию 12/VII 1985,
после доработки — 1/IX 1986*

О КРИТИЧЕСКИХ УСЛОВИЯХ ТЕПЛООВОГО ВЗРЫВА В РАСПРЕДЕЛЕННЫХ СИСТЕМАХ С ЦЕПНЫМИ РЕАКЦИЯМИ

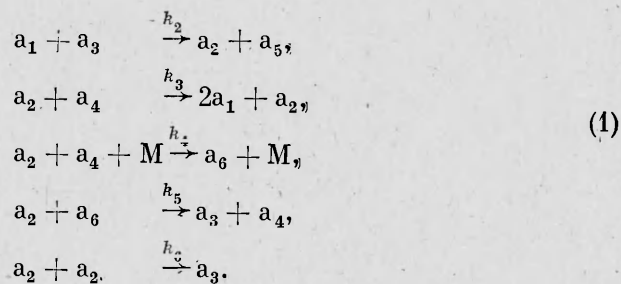
*В. Т. Гонтковская, И. С. Гордополова, А. Н. Перегудов
(Черноголовка)*

Классическая теория теплового взрыва дает возможность оценить основные характеристики явления самовоспламенения (например, положение предела) для простых реакций нулевого, первого и второго порядков и автокаталитических реакций. В работах [1, 2] такие оценки получены для класса разветвленных цепных реакций в предположении отсутствия градиентов температуры и концентраций в реакционном объеме.

В данной работе изучается влияние тепло- и массообмена на критические условия теплового взрыва в системах с цепными реакциями.

Постановка задачи. Рассматривается обобщенная кинетическая модель, предложенная в [3]:

$$a_3 + a_4 \xrightarrow{h_1} a_1 + a_2 + a_5,$$



Здесь a_3, a_4 — исходные вещества; a_1, a_2 — активные центры; a_6 — промежуточный радикал; a_5 — конечный продукт реакции; M — любая частица; $k_i = k_i^0 \exp(-E_i/RT)$; k_i^0 — предэкспоненциальный множитель; E_i — энергия активации; R — газовая постоянная; T — температура. Несмотря на простоту, схеме (1) присущи все особенности разветвленных цепных реакций. Эта модель позволяет исследовать также сплошь разветвленные и неразветвленные цепные процессы.

Схема (1) не описывает первый предел цепного воспламенения, так как в нее включен лишь гомогенный обрыв цепей и не учитывается линейный обрыв на стенках. С ее помощью могут изучаться процессы, в которых роль гетерогенных реакций невелика. Исключить гетерогенные процессы можно соответствующей обработкой реакционного сосуда. Так, в [4, 5] показано, что при обработке сосуда борной кислотой стенки не оказывают влияния на окисление водорода, и второй цепной предел не зависит от диаметра сосуда.

Схеме (1) соответствует система дифференциальных уравнений

$$\begin{aligned}
\frac{\partial c_i}{\partial t} &= D_i \Delta c_i + f_i \quad (i = 1, 2, \dots, 6), \\
c_V \rho \frac{\partial T}{\partial t} &= \lambda \Delta T + f_T
\end{aligned}
\tag{2}$$

с начальными

$$c_i(x, 0) = c_i^0(x), \quad T(x, 0) = T_0(x) \tag{3}$$

и граничными условиями

$$\left. \frac{\partial c_i}{\partial x} \right|_{x=0, r} = 0, \quad \left. \frac{\partial T}{\partial x} \right|_{x=0} = 0, \quad T(r, t) = T_0. \tag{4}$$

Здесь c_i — концентрация вещества a_i ; D_i — коэффициенты диффузии; f_i — правая часть i -го кинетического уравнения; f_T — правая часть уравнения теплопроводности; c_V — удельная теплоемкость; ρ — плотность; λ — коэффициент теплопроводности; c_i^0 — начальная концентрация; T_0 — начальная температура; t — время; x — координата; r — радиус сосуда. Чтобы исключить влияние стенок на процесс, на границе задаются условия равенства нулю потоков концентраций реагирующих веществ.

Упрощение математической модели. Анализ результатов численного решения системы (2) — (4) показал, что основной вклад в распределение концентраций по объему реакционного сосуда с отражающими стенками вносит неоднородность температурного поля. Диффузионный член в первом уравнении системы (2) может быть опущен.

Систему (2) — (4) целесообразно записать с использованием безразмерных переменных

$$\begin{aligned}
\Theta &= \frac{E_1(T - T_0)}{R}, \quad n_i = \frac{c_i}{\rho} \quad (i = 1, 2, \dots, 6), \\
\tau &= k_1^0 \rho t \exp(-E_1/RT_0), \quad \xi = \frac{x}{r}
\end{aligned}$$

и параметров (Q_i — тепловые эффекты стадий)

$$\beta = \frac{RT_0}{E_1}, \quad \sigma = \frac{E_3}{E_1}, \quad K = \frac{k_4^0}{k_1^0}, \quad \gamma = \frac{c_V RT_0^2}{QE_1}, \quad \mu = \frac{Q_4}{Q},$$

$$Q = Q_1 + Q_2 + Q_6, \quad \delta = \frac{QE_1 r^2 \rho^2 k_1^2 \exp(-E_1/RT_0)}{\lambda RT_0^2}, \quad Le_i = \frac{\lambda}{D_i c_V \rho}$$

в следующем виде:

$$\frac{\partial n_i}{\partial \tau} = \varphi_i(n_i, \Theta) \quad (i = 1, 2, \dots, 6), \quad (5)$$

$$\gamma \frac{\partial \Theta}{\partial \tau} = \frac{1}{\delta} \Delta \Theta + \Phi(n_i, \Theta) \quad (6)$$

с начальными

$$n_i(\xi, 0) = n_i^0(\xi), \quad \Theta(\xi, 0) = 0$$

и граничными условиями

$$\frac{\partial \Theta}{\partial \xi} \Big|_{\xi=0} = 0, \quad \Theta(1, \tau) = 0.$$

В (5) можно выделить малые параметры, сделать по ним асимптотику. Затем, воспользовавшись существованием материального баланса аналогично [6], свести шесть кинетических уравнений к одному для исходного продукта

$$\frac{\partial n_4}{\partial \tau} = -n_4^2(k_1 + k_3 \Psi),$$

$$\Psi = 0,5[A + \sqrt{A^2 + 4e^{-1/\beta} e^{\Theta/(1+\beta\Theta)}}],$$

$$A = e^{-\sigma/\beta} e^{\sigma\Theta/(1+\beta\Theta)} - KM - 0,5e^{-1/\beta} e^{\Theta/(1+\beta\Theta)}.$$

В уравнении теплопроводности (6) функция Φ преобразуется к виду

$$\Phi = n_4^2 \{k_1 + [2k_3 + (2\mu - 1)k_4 M]\} \Psi.$$

Система кинетических уравнений (5) позволяет определить максимальное значение концентрации активных центров n_2

$$\max n_2 = n_4 \Psi(\beta, \sigma, K, \Theta)$$

и получить оценку сверху для исходного продукта в момент достижения максимума n_2 :

$$n_4 < 1/(2 + \Psi).$$

Расчеты показали, что можно полагать $n_4 = 1/(2 + \Psi)$. Ошибка в этом случае не превышает 2%. Задача, таким образом, сводится к решению одного уравнения теплопроводности

$$\gamma \frac{\partial \Theta}{\partial \tau} = \frac{1}{\delta} \Delta \Theta + F(\Theta), \quad (7)$$

$$F(\Theta) = \{k_1 + [2k_3 + (2\mu - 1)k_4 M]\} / (2 + \Psi)^2,$$

$$\Theta(\xi, 0) = 0, \quad \frac{\partial \Theta}{\partial \xi} \Big|_{\xi=0} = 0, \quad \Theta|_{\xi=1} = 0.$$

Оценка критических условий теплового взрыва. Рассмотрим линейное уравнение

$$\gamma \frac{\partial \bar{\Theta}}{\partial \tau} = \frac{1}{\delta} \Delta \bar{\Theta} + \nu \bar{\Theta}, \quad (8)$$

$$\bar{\Theta}(\xi, 0) = 0, \quad \frac{\partial \bar{\Theta}}{\partial \xi} \Big|_{\xi=0} = 0, \quad \bar{\Theta}|_{\xi=1} = 0.$$

Решение (8) может быть представлено в виде ряда Фурье:

$$\bar{\Theta}(\xi, \tau) = \sum_{i=1}^{\infty} a_i X_i(\xi) \exp[(\delta \nu - \mu_i^2)/\delta \gamma],$$

где $\bar{X}_i(\xi)$ — собственные функции оператора Лапласа; μ_i — соответствующие им собственные значения. При $\bar{\delta} \leq \mu_1^2/\nu$ решение $\bar{\Theta}(\xi, \tau)$ ограничено при любом $\tau > 0$, а при $\bar{\delta} > \mu_1^2/\nu$ $\bar{\Theta}(\xi, \tau) \rightarrow \infty$ — при $\tau \rightarrow \infty$ (μ_1 — наименьшее собственное число). Следовательно, значение $\bar{\delta}_{кр} = \mu_1^2/\nu$ — критическое в том смысле, что разделяет множество растущих со временем решений и множество решений, ограниченных при любом τ .

Выберем параметр $\nu = \nu_0$ в уравнении (8) таким, чтобы прямая $\nu_0\Theta$ касалась кривой $F(\Theta)$, т. е.

$$\nu_0\Theta_k = F(\Theta_k), \quad \nu_0 = F'_{\Theta}(\Theta_k).$$

Через Θ_k обозначена точка касания. Она находится решением трансцендентного уравнения $\Theta_k = F(\Theta_k)/F'_{\Theta}(\Theta_k)$. Поскольку $F(\Theta) \geq \nu_0\Theta$, для ограниченности решения (7) необходимо, чтобы $1/\delta_{кр} \geq 1/\bar{\delta}_{кр}$, т. е.

$$\delta_{кр} \leq \bar{\delta}_{кр} = \frac{\mu_1^2\Theta_k}{F(\Theta_k)}. \quad (9)$$

Этот прием в некотором роде аналогичен приближению Д. А. Франк-Каменецкого [7]. Различие состоит в том, что Д. А. Франк-Каменецкий заменял распределенную систему сосредоточенной с некоторым эффективным коэффициентом теплоотдачи $\alpha_{эф}$, а в данной работе, чтобы получить оценку, вводится в рассмотрение система уравнений с линейным источником тепловыделения.

Для иллюстрации работы уравнения (9) приведем пример: при $\beta = 0,0396$, $\sigma = 0,3$, $K = 4,2 \cdot 10^{-4}$, $\mu = 2,5$; в случае плоского сосуда по формуле (9) $\delta_{кр} = 2,2 \cdot 10^{-4}$, а расчет на ЭВМ дает $1,4 \cdot 10^{-4}$.

На рис. 1 дается связь между $\delta_{кр}$ и безразмерным давлением K . Значение $\sigma = 0,3$ (кривая 1) соответствует разветвленной реакции. Предел в этом случае имеет вид полуострова. Для некоторого множества значений критических диаметров предельное давление определяется неоднозначно. Предельные давления при $\sigma = 0,5$ (см. рис. 1, 2), т. е. в классе реакций с прямыми цепями, всегда определяются однозначно.

Тепловой предел в координатах температура — давление для $\sigma = 0,3$ также имеет вид полуострова, а для $\sigma = 0,5$ кривая предела похожа на полученную экспериментально в [8] для метилнитрата.

Полученные формулы позволяют проводить оценочные расчеты для систем с разветвленными цепными реакциями при наличии градиента температур и граничных условий первого рода, что практически всегда выполняется для газофазных систем.

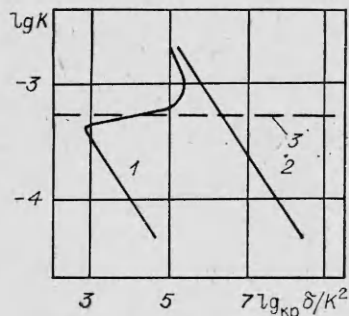


Рис. 1. Тепловой предел для плоского сосуда ($\beta = 0,0396$; $\mu = 2,5$). 3 — второй цепной предел.

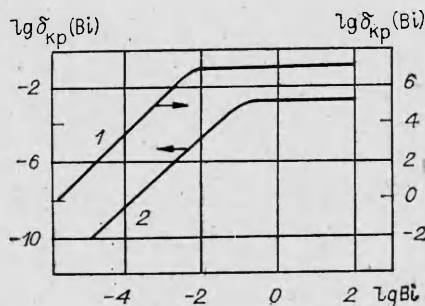


Рис. 2. Зависимость теплового предела для плоского сосуда от условий теплоотвода ($\beta = 0,0396$, $\sigma = 0,3$, $\mu = 2,5$).

1 — $K = 1,044 \cdot 10^{-4}$ — идет простая реакция вне полуострова цепного воспламенения; 2 — $K = 5,22 \cdot 10^{-5}$ — реакция протекает на полуострове цепного воспламенения, т. е. разветвленная.

При решении краевой задачи третьего рода, когда граничные условия имеют вид

$$\frac{\partial \Theta}{\partial \xi} \Big|_{\xi=1} = -Bi\Theta,$$

критическое значение можно получить по формуле

$$\delta_{кр}(Bi) = \delta_{кр}\varphi(Bi),$$

где

$$\varphi(Bi) = \frac{Bi}{2} (\sqrt{Bi^2 + 4} - Bi) \exp \frac{\sqrt{Bi^2 + 4} - Bi + 2}{Bi}.$$

Функция $\varphi(Bi)$, как показано в [9, 10] и подтверждено нашими расчетами для сложных цепных реакций, носит универсальный характер и не зависит от вида кинетических кривых и формы сосуда (рис. 2).

Оценка (9) тем лучше, чем меньше при фиксированных параметрах σ , β , K функция тепловыделения $F(\Theta)$ отличается от линейной $\nu_0\Theta$. Даже в том случае, когда оценка грубая, она, безусловно, очень полезна при подготовке эксперимента, для разработки технологии и т. д. При проведении теоретических исследований определение $\delta_{кр}$ резко сокращает затраты машинного времени на поиски критических условий теплового взрыва.

Предложенный способ оценки критических условий теплового взрыва применим к системам с большим количеством стадий. Для этого необходимо прежде всего упростить ее с помощью выделения ведущих стадий [11, 12]; а затем, пользуясь методом квазистационарных концентраций и существованием материального баланса, свести множество кинетических уравнений к одному для исходного или конечного продукта.

ЛИТЕРАТУРА

1. В. Т. Гонтковская. Докл. АН СССР, 1976, 231, 4, 915.
2. В. Т. Гонтковская, А. А. Овчинников, А. Н. Перегудов. Кинетика и катализ, 1978, 19, 4, 840.
3. В. В. Азатян, В. Т. Гонтковская, А. Г. Мержанов. ФГВ, 1973, 9, 2, 162.
4. Р. Р. Болдуин, Р. В. Уокер.— В кн.: Химическая кинетика и цепные реакции. М.: Наука, 1966.
5. A. Eggerton, D. R. Warren. Proc. Roy. Soc., 1951, A 204, 465.
6. В. Т. Гонтковская. ФГВ, 1979, 15, 3, 59.
7. Д. А. Франк-Каменецкий. Диффузия и теплопередача в химической кинетике. М.: Наука, 1967.
8. А. Я. Апин, О. М. Тодес, Ю. Б. Харитон. ЖФХ, 1936, 8, 6, 866.
9. В. В. Барзыкин, В. Т. Гонтковская, А. Г. Мержанов и др. ПМТФ, 1964, 3, 118.
10. В. В. Барзыкин, В. Т. Гонтковская, А. Г. Мержанов. ФГВ, 1966, 2, 4, 18.
11. В. Т. Гонтковская, А. Г. Мержанов, Н. И. Озерковская.— В кн.: Химическая физика процессов горения и взрыва. Кинетика химических реакций. Черноголовка, 1977.
12. В. Т. Гонтковская. Исследование свойств решений кинетических уравнений, описывающих неизотермические цепные процессы. Препринт ОИХФ АН СССР. Черноголовка, 1985.

Поступила в редакцию 31/III 1986,
после доработки — 13/X 1986

ОРИЕНТАЦИОННАЯ МОДЕЛЬ УДАРНОЙ ЭЛЕКТРИЧЕСКОЙ ПОЛЯРИЗАЦИИ В КОНДЕНСИРОВАННОЙ ФАЗЕ

Ф. У. Еникеев, С. И. Кубарев, О. А. Пономарев
(Уфа)

Возникновение электрической поляризации в к-фазе после прохождения по ней ударной волны (УВ) наблюдалось впервые в начале 60-х годов [1] в некоторых высокомолекулярных соединениях. Позднее